

Fibroepitelioma de Pinkus – Microscopia confocal no auxílio diagnóstico^{☆,☆☆}



Prezado Editor,

Paciente do sexo feminino, 36 anos, apresentou lesão pigmentada assintomática no abdome durante o exame de mapeamento corporal total. A paciente não tinha histórico pessoal de câncer de pele, apesar de já ter retirado nevos atípicos.

Clinicamente, a lesão apresentava-se como pápula acastanhada, medindo aproximadamente 0,8 cm, séssil (*fig. 1*). À dermatoscopia, presença de múltiplos pontos cinza-azulados em meio à área amorfa acastanhada e discretos vasos finos (*fig. 2*).

Realizada microscopia confocal de reflectância, exame de imagem *in vivo* não invasivo a nível celular, que revelou padrão fenestrado, com presença de cordões tumorais refringentes formando anastomoses e ilhotas de células basaloides, circundadas por um estroma fibroso, hiporrefringente. Observaram-se também células basaloides em paliçada na periferia dos cordões (*figs. 3 e 4*).

A análise histopatológica foi realizada e confirmou o diagnóstico de fibroepitelioma de Pinkus (FeP), caracterizado por cordões de células tumorais em anastomose, com paliçada periférica, cercado um estroma fibroso (*fig. 5A*). A imuno-histoquímica revelou expressão do marcador Ber-EP4, evidenciando os cordões de células tumorais (*fig. 5B*). No limite inferior, observaram-se estruturas denominadas germe-papila, características do FeP. O arranjo histológico corresponde ao padrão fenestrado visualizado na microscopia confocal, possibilitando o diagnóstico de FeP com segurança por essa técnica.

O FeP é um subtipo específico e incomum de carcinoma basocelular, que pode ser clinicamente semelhante a lesões tumorais benignas, como nevo intradérmico, pólipio fibroepitelial, ceratose seborreica, entre outros, que não são rotineiramente excisados. Classicamente, o FeP apresenta-se como pápula solitária, cupuliforme, normocrômica ou acastanhada. À dermatoscopia, pode apresentar vasos polimorfos (finos, focados, arboriformes curtos, pontilhados), linhas brancas curtas, cistos semelhantes a milia, áreas cinza-acastanhadas e pontos cinza-azulados.¹⁻³

O exame histopatológico é considerado fundamental para o diagnóstico. Descrito por Pinkus como peculiar e inconfundível,⁴ apresenta filamentos ou cordões anastomosados de células basaloides projetando-se para baixo, a partir da epiderme, em um padrão fenestrado, cercados por estroma abundante e fibroso. A periferia dos

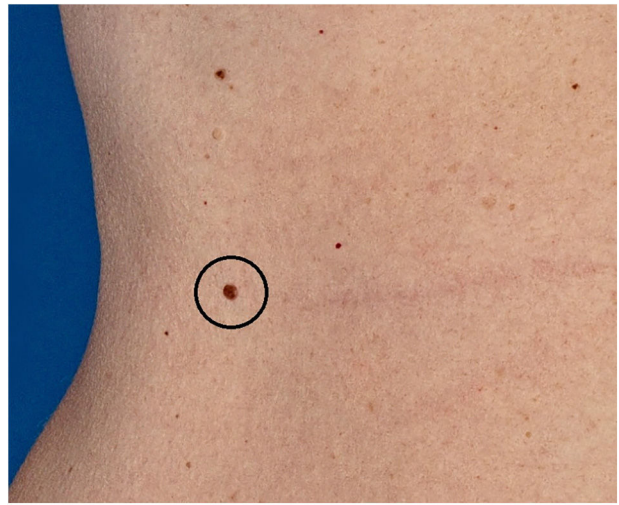


Figura 1 Pápula acastanhada medindo aproximadamente 0,8 cm, séssil

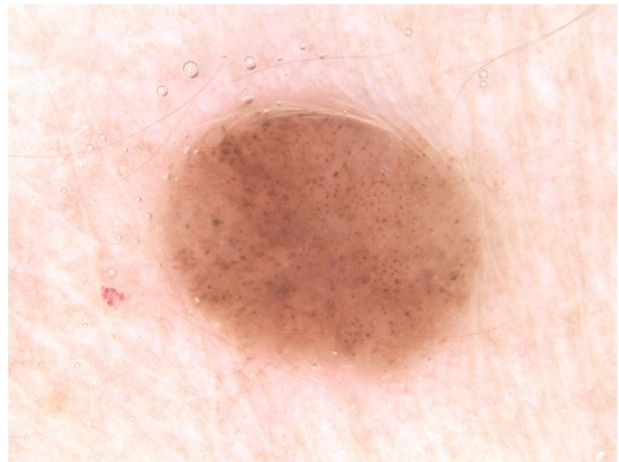


Figura 2 Imagem dermatoscópica: presença de múltiplos pontos cinza-azulados em meio à área amorfa acastanhada e discretos vasos finos

cordões é formada por células colunares, dispostas em paliçada.^{5,6} A imuno-histoquímica aplicando o marcador Ber-EP4 é ferramenta útil para diagnosticar neoplasias com diferenciação germinativa folicular e pode ser utilizada para corroborar o diagnóstico histopatológico.⁷

A microscopia confocal *in vivo* apresenta também o padrão fenestrado característico. Ao nível da junção dermoepidérmica observam-se espaços hiporrefringentes que correspondem ao estroma fibroso, envolto por cordões de células tumorais, com maior refringência. Os cordões e ilhas de células tumorais apresentam células em paliçada na periferia. Vasos canaliculares também podem ser observados.^{2,3}

O FeP é frequentemente subdiagnosticado ao exame clínico. As características clínicas são muitas vezes inespecíficas, e a dermatoscopia pode não ser suficiente para confirmar ou descartar outras hipóteses. No entanto, o padrão específico revelado pela microscopia confocal corresponde às características histopatológicas peculiares do FeP, tornando seu diagnóstico com maior nível de segurança e especificidade possível.^{5,8}

DOI referente ao artigo:

<https://doi.org/10.1016/j.abd.2022.02.011>

☆ Como citar este artigo: Campos-do-Carmo G, Lóss JB, Verardino GC. Fibroepithelioma of Pinkus – Confocal microscopy as a diagnostic tool. *An Bras Dermatol.* 2023;98:853–6.

☆☆ Estudo realizado no Departamento de Dermatologia, Gávea Medical Center; e no Departamento de Patologia, Microimagem, Rio de Janeiro, RJ, Brasil.

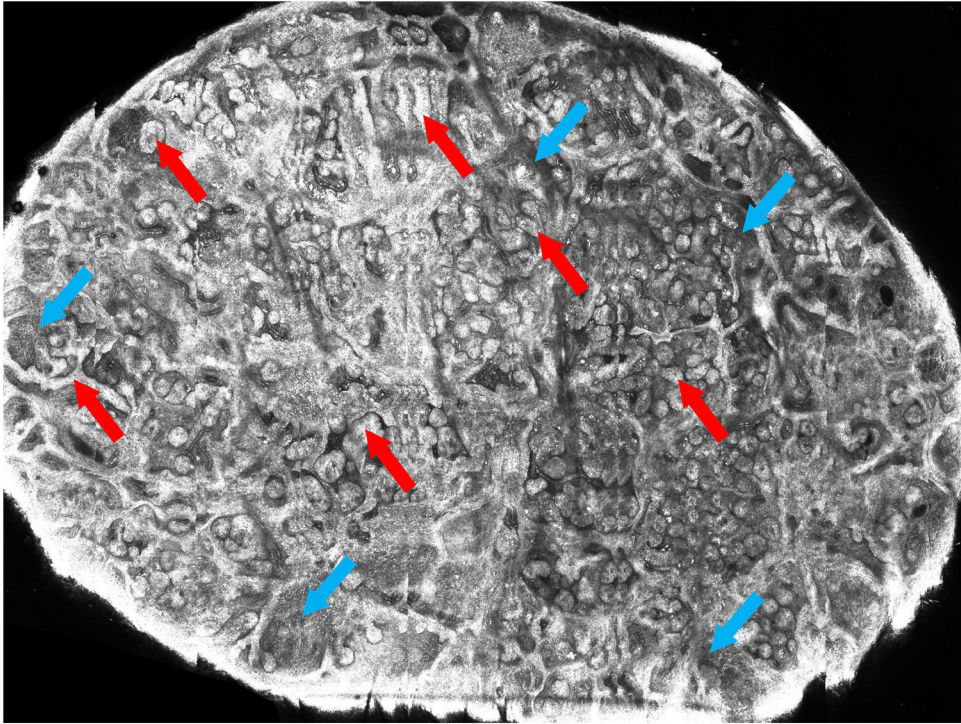


Figura 3 Microscopia confocal *in vivo*, mosaico: presença de cordões e ilhas de células tumorais (*setas vermelhas*), formando anastomoses, circundadas por estroma fibroso (*setas azuis*)

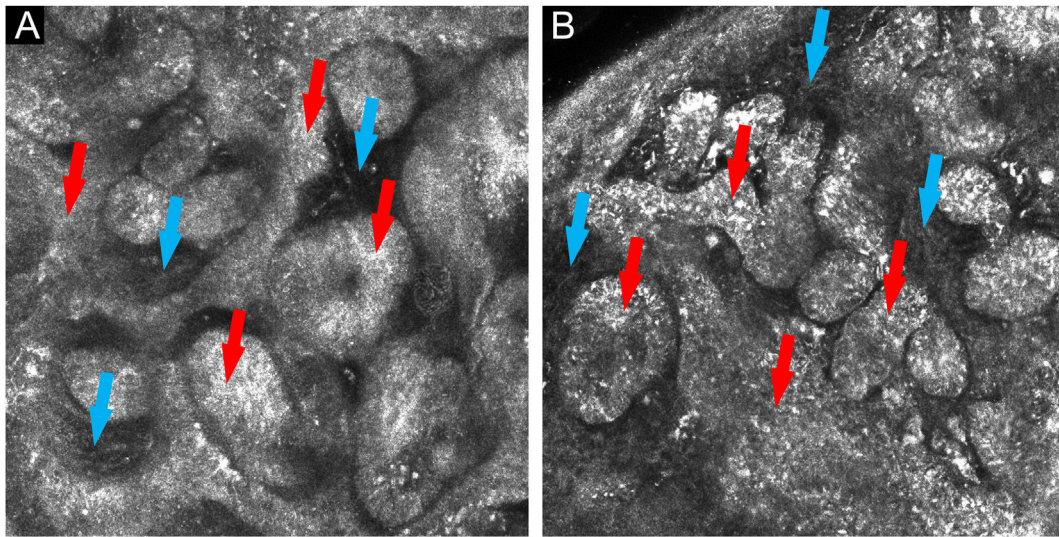


Figura 4 (A e B) Microscopia confocal *in vivo*: ilhas e cordões de células tumorais com periferia em paliçada (*setas vermelhas*) formando anastomoses, circundadas por estroma fibroso (*setas azuis*)

Suporte financeiro

Nenhum.

Contribuição dos autores

Gabriella Campos do Carmo das Chagas: Concepção e o desenho do estudo; levantamento dos dados, ou análise e interpretação dos dados; redação do artigo ou revisão crítica

do conteúdo intelectual importante; obtenção, análise e interpretação dos dados; participação efetiva na orientação da pesquisa; participação intelectual em conduta propedêutica e/ou terapêutica de casos estudados; revisão crítica da literatura; aprovação final da versão final do manuscrito.

Júlia Bozetti Lóss: Levantamento dos dados, ou análise e interpretação dos dados; redação do artigo ou revisão crítica do conteúdo intelectual importante; obtenção, análise e interpretação dos dados; participação intelectual em conduta propedêutica e/ou terapêutica de casos estudados;

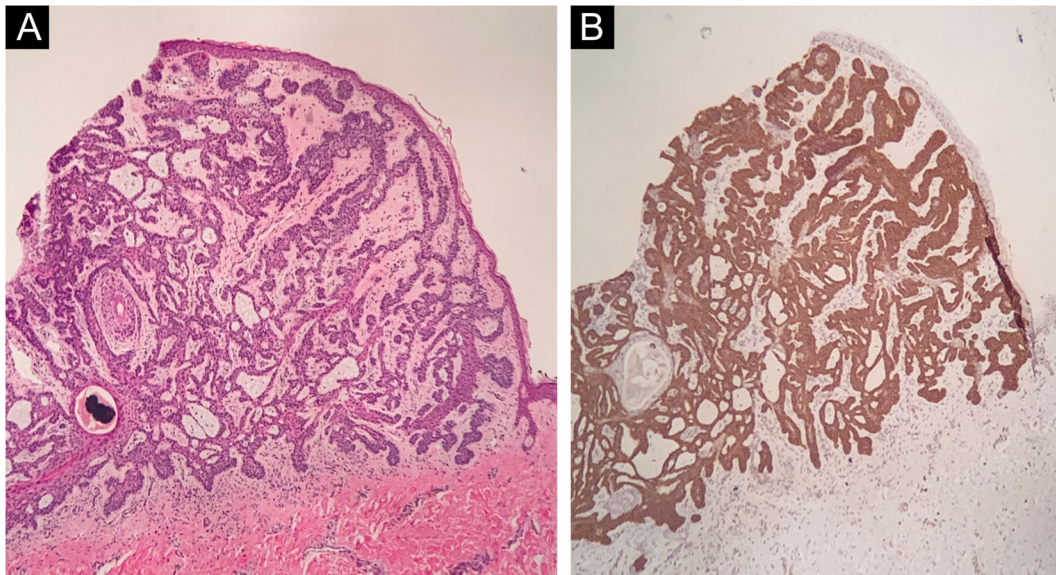


Figura 5 (A) Histopatologia da lesão apresenta cordões de células tumorais em paliçada na periferia (Hematoxilina & eosina, 40 ×). (B) Imuno-histoquímica demonstra a expressão do marcador BER-EP4, evidenciando os cordões de células tumorais (40 ×)

revisão crítica da literatura; aprovação final da versão final do manuscrito.

Gustavo Costa Verardino: Levantamento dos dados, ou análise e interpretação dos dados; redação do artigo ou revisão crítica do conteúdo intelectual importante; obtenção, análise e interpretação dos dados; aprovação final da versão final do manuscrito.

Conflito de interesses

Nenhum.

Referências

1. Longo C, Soyer HP, Pepe P, Casari A, Wurm EMT, Guitera P, et al. In vivo confocal microscopic pattern of Fibroepithelioma of Pinkus. *Arch Dermatol*. 2012;148:556.
2. Reggiani C, Zalaudek I, Piana S, Longo C, Argenziano G, Lallas A, et al. Fibroepithelioma of Pinkus: case reports and review of the literature. *Dermatology*. 2013;226:207–11.
3. Viera M, Amini S, Huo R, Oliviero M, Bassalo S, Rabinovitz H. A new look at Fibroepithelioma of Pinkus: features on confocal microscopy. *J Clin Aesthet Dermatol*. 2008;1:42–4.
4. Pinkus H. Premalignant fibroepithelial tumors of skin. *AMA Arch Derm Syphilol*. 1953;67:598–615.
5. Haddock ES, Cohen PR. Fibroepithelioma of Pinkus revisited. *Dermatol Ther (Heidelb)*. 2016;6:347–62.

6. Lupu M, Clatici VG, Barinova E, Voiculescu VM. Fibroepithelioma of Pinkus: Dermoscopic and reflectance confocal microscopic patterns. *Dermatol Ther*. 2021;34:e14831.
7. Ansaï S, Takayama R, Kimura T, Kawana S. Ber-EP4 is a useful marker for follicular germinative cell differentiation of cutaneous epithelial neoplasms. *J Dermatol*. 2012;39:688–92.
8. Badaró BA, Diniz LM, Negris Neto E, Lucas EA. Multiple Fibroepitheliomas of Pinkus after radiotherapy. *An Bras Dermatol*. 2019;94:633–5.

Gabriella Campos-do-Carmo ^{a,*}, Júlia Bozetti Lóss ^a
e Gustavo Costa Verardino ^b

^a Departamento de Dermatologia, Gávea Medical Center, Rio de Janeiro, RJ, Brasil

^b Departamento de Patologia, Microimagem, Rio de Janeiro, RJ, Brasil

* Autor para correspondência.

E-mail: dragabriellacampos@gmail.com
(G. Campos-do-Carmo).

Recebido em 7 de janeiro de 2022; aceito em 22 de fevereiro de 2022

<https://doi.org/10.1016/j.abdp.2023.06.015>
2666-2752/ © 2023 Publicado por Elsevier España, S.L.U. em nome de Sociedade Brasileira de Dermatologia. Este é um artigo Open Access sob uma licença CC BY (<http://creativecommons.org/licenses/by/4.0/>).